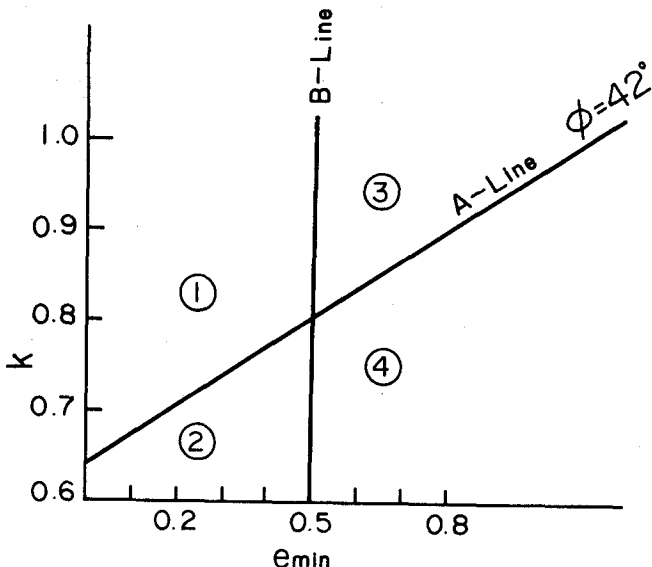


八戸工大 正員 諸戸 靖史

砂、レキおよびそれしたシラスのような粗粒土の力学的特性を慮できる工学的分類のための図表として筆者は  $\kappa - \epsilon_{min}$  図を提案してきた。細粒土についてはよく知られている塑性図があるが、粗粒土についてはそのようなものはいまだになかったからである。ここに、定数  $\kappa$  はせん断試験結果を用いて  $\kappa = (1 + c_0) \sin \phi$  として求められる。 $c_0$  は初期間隙比であり、 $\phi$  は内部マツフ角である。また、 $\epsilon_{min}$  は限界密度試験によって決定される最も密な状態における間隙比である。

本文の目的は  $\kappa - \epsilon_{min}$  図の上に A-線、B-線を入れて、この図の活用性を高めようとするところである。図-1 には A-線として、 $\phi = 42^\circ$ -定線を、また B-線として  $\epsilon_{min} = 0.50$  を入れている。この値は漸定的なものであるが、図に示されているように粗粒土のせん断強さ、剛性率、圧縮性などの力学的性質が容易に区分される。ただし、力学的定数は  $\epsilon_{min}$  の状態においてそれらの値を考えなければならない。ここで提案されている A-線、B 線を入れた  $\kappa - \epsilon_{min}$  図は細粒土に対して適用されている塑性図と似た性質をもっていることは興味深い。



- |     |  |     |   |
|-----|--|-----|---|
| (1) | Higher Strength and Rigidity<br>Lower Compressibility      | (3) | Higher Strength<br>Lower Rigidity<br>Higher Compressibility |
| (2) | Higher Rigidity<br>Lower Strength<br>Lower Compressibility | (4) | Lower Strength and Rigidity<br>Higher Compressibility       |

図-1  $\kappa - \epsilon_{min}$  図における A-線、B-線

## 付記

本文で提案されている図表は、セン断試験と限界密度試験の結果を用いて発案されており、セン断強さ、剛性圧縮性、締固め易さのような粗粒材料の力学的特性を考慮できる分類図として新しいものである。ただし、現段階で、A-線、B-線を確定的に設定することはむずかしく、不明瞭な点もある。この点については利用可能なデータを多く集めそれらを活用していくしかない。

過去の報告の記述と重複するが、ここで便利のために  $\varphi - e_{min}$  図の特性について説明している事項を列記しておく。

- (1) 左側にある材料ほど密になりやすい。
- (2) 左側にある材料ほど圧縮性は小さく、剛性率は高い。
- (3) 等セン断強度線(たとえば图-1 の  $\varphi = 42^\circ$  線)に関して上位にある材料ほど内部摩擦角が大きい。
- (4) 同様の粒度配合の材料であれば左側にある材料ほどアンギュラリティーや表面粗度が大きい。

これらの物性の影響は  $\varphi - e_{min}$  関係において直線的である。

左側にある材料ほど丸味を帯びたものであったり、表面が滑らかである。

- (5) 粒形や表面粗度が同じ様であり、粒度が異なる材料については、均等係数  $D_60$  が小さい方が左側に位置する。

$\varphi - e_{min}$  関係に対する  $D_60$  の効果は直線的である。

ただし、開き度の大きい乱れ(シラス)場合には均等係数の効果消失しているようである。

- (7) 通常の拘束圧のもとにおける  $\varphi - e_{min}$  関係には粒子形状および粒度の影響が大きい。
- (8) 良い値には岩質(粒子破碎)が関係しており、岩質の程度に比べ相対的に拘束圧が高いセン断試験における良の値は低くなる。

この低下の様子は  $e_{min}$  の大きい材料ほど大きい。

拘束圧が高いところでは良の値は  $e_{min}$  の値が大きくても小さくとも一定になるような傾向をもつ。

このことは拘束圧が高いところでは  $e_{min}$  が小さくなる材料ほど(密度が大きければ大きい(チビ)セン断強さが大きい)ことが分かる。

つまり、岩質が良く、丸味を帯びた粒度の良い材料が高圧下の構造材料として望ましいことが分かる。

- (9)  $\varphi - e_{min}$  図の上にたとえば  $\varphi = 42^\circ$  一定線(A-線とよぶ)、 $e_{min} = 0.50$  線(B-線とよぶ)を入れると、細粒土の工学的分類で用いるふるい子よりよく知られる塑性図によく似た分類図ができる。
- (10) その図表は適切性に因る性質を評価することはできない。

- (11) 材料の力学的性質の定量的な表現は  $e_{min}$  の状態における値を用いること。

- (12) 特別の締固め易さの一つの尺度として  $e_{min}$  が用いるものではないかと推測される。

- (13) 内部摩擦角と開き度との関係式として最上の強度式を基本としているのは、その式が、セン断強さが密度に比例するという物理的意味がはっきりしていることと、理論的背景をもっていることおよび簡単であるということにある。その式の精度が高いううではない。

## 参考文献

諸々(1976,昭和51年):  $\varphi - e_{min}$  図による砂・レキの工学的分類、第11回土木工学研究発表会

諸々(1978,昭和53年): 砂・レキ粒の工学的分類、第33回土木学会年次学術講演会

諸々(1976,昭和51年): 粒状体の変形と強度に関する基礎的研究、博士論文